



SPRAWOZDANIE NR OS/0431/25

Z POMIARÓW NATĘŻENIA PÓL ELEKTROMAGNETYCZNYCH

WYKONANYCH DLA CELÓW OCHRONY ŚRODOWISKA

Miejsce wykonania badania:	GRJ4408B	
	Sadków Duchowny, dz. nr 2/7, pow. grójecki, woj. MAZOWIECKIE	
Współrzędne geograficzne:	51°51'48.54"N, 20°47'21.77"E	
Data wykonania pomiarów:	14.10.2025	
Data wydania sprawozdania:	15.10.2025	
Zleceniodawca:	P4 sp. z o.o. ul. Wynałazek 1 02-667 Warszawa	
Sprawozdanie wykonał:	Sprawdził:	Autoryzował:
 Specjalista ds. analiz i wizualizacji wyników	mgr inż. Kierownik Laboratorium	mgr inż. Kierownik ds. jakości

1. INFORMACJE O UŻYTKOWNIKU ¹

- **Zleceniodawca:** P4 sp. z o.o. ul. Wynalazek 1, 02-667 Warszawa
- **Typ obiekt:** Instalacja radiokomunikacyjna zainstalowana na wieży kratowej
- **Numer obiektu:** GRJ4408B
- **Adres obiektu:** Sadków Duchowny, dz. nr 2/7, pow. grójecki, woj. MAZOWIECKIE
- **Współrzędne geograficzne:** 51°51'48.54"N, 20°47'21.77"E

2. CHARAKTERYSTYKA ŹRÓDEŁ PEM ¹

Tabela 1. Parametry systemu nadawczo-odbiorczego

Charakterystyka promieniowania		kierunkowa														
Rzeczywisty czas pracy [h/dobę]		24														
Rodzaj wytwarzanego pola		stacjonarne														
Lp	Wyszczególnienie	sektor 1					sektor 2					sektor 3				
		Nadajnik stacji bazowej:														
1	Typ / Producent	RBS / SRAN Ericsson														
2	Częstotliwość (pasmo) MHz	2100	1800	900	800	700	2100	1800	900	800	700	2100	1800	900	800	700
3	Maksymalna moc nadawana na sektor [dBm]	52,51	52,51	50,79	50,79	50,79	52,51	52,51	50,79	50,79	50,79	52,51	52,51	50,79	50,79	50,79
Obciążenie:																
1	Typ anteny	Huawei AQU4518R25					Huawei AQU4518R25					Huawei AQU4518R25				
2	Producent anteny	Huawei					Huawei					Huawei				
3	Nazwa anteny	11_DHI KLNRV	11_DHI KLNRV	11_DHI KLNRV	11_DHI KLNRV	11_DHI KLNRV	21_DHI KLNRV	21_DHI KLNRV	21_DHI KLNRV	21_DHI KLNRV	21_DHI KLNRV	31_DHI KLNRV	31_DHI KLNRV	31_DHI KLNRV	31_DHI KLNRV	31_DHI KLNRV
4	Ilość anten	1					1					1				
5	Azymut	0					120					255				
6	Zakres kątów pochYLENIA anten [°]	2,00- 12,00	2,00- 12,00	0,00- 10,00	0,00- 10,00	0,00- 10,00	2,00- 12,00	2,00- 12,00	0,00- 10,00	0,00- 10,00	0,00- 10,00	2,00- 12,00	2,00- 12,00	0,00- 10,00	0,00- 10,00	0,00- 10,00
7	Wysokość zainst. n.p.t. [m]	53,00					53,00					53,00				
8	EIRP [W]	32632					32632					32632				

¹ Dane pozyskane od Klienta

Tabela 2. Parametry radiolinii

Charakterystyka promieniowania				kierunkowa			
Rzeczywisty czas pracy [h/dobę]				24			
Rodzaj wytwarzanego pola				stacjonarne			
Lp	Linia radiowa			Antena			
	typ/producent	częstotliwość pracy [GHz]	moc wyjściowa [dBm]	typ/producent	średnica anteny [m]	azymut [°]	wysokość zainstal. [m]
1	OPTIX RTN/HUAWEI	80	18	A80S06/Huawei	0,6	190	50,00

Inne źródła PEM: W obszarze pomiarowym badanego obiektu **nie występują** inne źródła promieniowania pola elektromagnetycznego, które w zakresie badanych częstotliwości bezpośrednio wpływają na wynik wartości mierzonej natężenia pola.

3. OPIS POMIARÓW

Cel badań: Sprawdzenie dotrzymania dopuszczalnych poziomów pól elektromagnetycznych, w otoczeniu instalacji wytwarzających takie pola.

3.1. Data oraz warunki pomiarów

Data pomiarów	Godzina		Opady	Temperatura [C]		Wilgotność [%]	
	rozpoczęcia pomiarów	zakończenia pomiarów		Minimalna	Maksymalna	Minimalna	Maksymalna
14.10.2025	15:30	17:00	Brak	11,1	11,4	62,4	63,2

3.2. Aparatura pomiarowa:

Tabela 3. Opis zestawu pomiarowego

Nazwa	Typ/model	Numer fabryczny/SN	Świadectwo wzorcowania	Zastosowanie
Szerokopasmowy miernik natężenia pola elektromagnetycznego	NBM- 520	D-2775	LWiMP/W/209/24 z dnia 10.06.2024 (Laboratorium Wzorców i Metrologii Pola Elektromagnetycznego Instytutu Telekomunikacji, Teleinformatyki i Akustyki Politechniki Wrocławskiej)	Pomiary pola elektromagnetycznego
Sonda pomiarowa pola elektrycznego	EF-9091	B-0081		
Sonda pomiarowa pola magnetycznego	HF-0191	E-0071		
Termohigrometr	Termioplus - S	SN 120823	586/2024 z dnia 01.03.2024 (Instytut Energetyki - Państwowy Instytut Badawczy)	Pomiary wilgotności względnej powietrza Pomiary temperatury powietrza
Dalmierz	Bosch GmbH	328505488	Nr. Św. 30.1889124-1 z dn. 29.05.2024 Centralne Laboratorium Dozoru Technicznego	Pomiar odległości
Odbiornik GPS	Garmin GLO2	1792A-A1156/SPS066633	-	Pomiar współrzędnych geograficznych

3.3. Wyznaczenie niepewności pomiarów:

Ocenę niepewności przyjmuje się zgodnie z procedurą stosowaną w laboratorium.

Wyznaczona rozszerzona niepewność pomiaru dla współczynnika rozszerzenia $k = 2$ dla zestawu pomiarowego z pkt.3.2 w dniu pomiaru wynosi 58,67%.

3.4. Kryteria przedstawiania stwierdzeń zgodności

Niniejsze sprawozdanie zgodnie z zasadami systemu akredytacji zawiera stwierdzenia zgodności.

W przypadku badań poziomów pola elektromagnetycznego w środowisku stwierdzenie zgodności dotyczy rozstrzygnięcia, czy zmierzona wartość opisująca pole elektromagnetyczne przekracza wartość dopuszczalną dla zakresu częstotliwości, w którym pracują źródła podaną w Rozporządzeniu Ministra Zdrowia z dnia 17 grudnia 2019 r. w sprawie dopuszczalnych poziomów pól elektromagnetycznych w środowisku (Dz. U. z 2019 r. poz. 2448).

3.5. Metodyka wykonania pomiarów:

Zastosowano metodę znormalizowaną w oparciu o Rozporządzenie Ministra Klimatu i Środowiska z dnia 6 maja 2022 r. zmieniające rozporządzenie w sprawie sposobów sprawdzania dotrzymania dopuszczalnych poziomów pól elektromagnetycznych w środowisku (Dz.U. 2022 poz. 1121).

3.6. Przepisy prawne:

- Ustawa z dnia 27 kwietnia 2001 r. Prawo ochrony środowiska (Dz.U. 2024 r. poz. 834).
- Rozporządzenie Ministra Zdrowia z dnia 17 grudnia 2019 r. w sprawie dopuszczalnych poziomów pól elektromagnetycznych w środowisku (Dz. U. z 2019 r. poz. 2448).
- Rozporządzenie Ministra Klimatu z dnia 17 lutego 2020 r. w sprawie sposobów sprawdzania dotrzymania dopuszczalnych poziomów pól elektromagnetycznych w środowisku Załącznik do obwieszczenia Ministra Klimatu i Środowiska z dnia 21 listopada 2022 r. (Dz. U. poz. 2630).

3.7. Opis pomiarów

Stacja bazowa GRJ4408B usytuowana jest na wieży kratowej zlokalizowanej pod adresem Sadków Duchowny, dz. nr 2/7, pow. grójecki, woj. MAZOWIECKIE. Anteny i moduły RRU zamontowane są na antenowych konstrukcjach wsporczych a urządzenia są w szafie APM zainstalowanej u podnóża wieży. W otoczeniu stacji zlokalizowana jest zabudowa jednorodzinna oraz pola uprawne. Analiza parametrów technicznych wykazała, że urządzenia nadawcze stacji pracują w paśmie częstotliwości zgodnie z tabelą 1 oraz tabelą 2. Moc wyjściowa nadajników doprowadzona jest do anten przy pomocy ekranowanych fiderów.

Pomiary w otoczeniu stacji bazowej wykonano wzdłuż kierunków maksymalnego zasięgu oddziaływania pola elektromagnetycznego na kierunkach osi głównych wiązek anten sektorowych do odległości określonej zgodnie z wytycznymi zawartymi w instrukcji wykonywania pomiarów, podczas rzeczywistej pracy urządzeń wytwarzających pola elektromagnetyczne.

Pomiary wykonano dla średniego pochylecia wiązki liczonego jako średnia arytmetyczna z minimalnej i maksymalnej wartości stosowanego lub planowanego kąta pochylecia. Średnie wartości tilt ustawiane są przez Klienta. W przypadku, gdy na danym azymucie zainstalowano kilka anten, średnia wartości tilt ustawiona jest jednakowa dla wszystkich anten. Przyjmuje się najgorszą wartość spośród anten zainstalowanych na danym kierunku.

Pomiary w przyjętych pionach pomiarowych wykonano w punktach położonych na wysokościach od 0,3 m do 2,0 m nad powierzchnią ziemi lub nad innymi powierzchniami, na których mogą przebywać ludzie, przyjmując za wynik pomiaru maksymalny poziom natężenie pól elektromagnetycznego.

Pomiary wykonano w dodatkowych pionach pomiarowych w lokalach oraz na balkonach i tarasach, na których mogą przebywać ludzie, po poinformowaniu o planowanych pomiarach z minimum 3-dniowym wyprzedzeniem i po umożliwieniu dostępu do lokalu, balkonu lub tarasu przez jego dysponenta lub bez zachowania terminu wskazanego w pierwszej części zdania za zgodą dysponenta przestrzeni pomiarowej.

Punkty pomiarowe wewnątrz budynków oraz na tarasach/balkonach wyznaczono na podstawie przeprowadzonych obliczeń rozkładu pola elektromagnetycznego. Jako wartość graniczną do wyznaczenia odległości zasięgu pola elektromagnetycznego przyjęto wartość 9 V/m. Jest to wartość wypadkowa po uwzględnieniu współczynników odpowiadającym emisji z obcych źródeł promieniowania elektromagnetycznego oraz efekt odbicia fal radiowych. Obliczenia te wykonywane są uwzględniając parametry systemu antenowego dostarczone przez Klienta, W tym obszarze pomiary w budynkach wykonywane są obligatoryjnie. Jeżeli w ww. obszarze nie zlokalizowano żadnych budynków dodatkowo wyznaczono reprezentatywne budynki, wewnątrz których wykonano dodatkowe pomocnicze punkty pomiarowe.

Przy doborze pionów pomiarowych uwzględniono charakter i sposób zagospodarowania terenu otaczającego stację bazową.

3.8. Sposób identyfikacji widma częstotliwości:

Parametry stacji bazowej uzyskane od właściciela instalacji stacji bazowej.

4. WYNIKI POMIARÓW

Wyniki pomiarów ważne są jedynie dla danej konfiguracji urządzeń w dniu, w którym wykonano pomiary.

Wynik pomiaru, to maksymalna wartości chwilowa zmierzona w danym pionie pomiarowym powiększona o rozszerzoną niepewność pomiaru U dla współczynnika rozszerzenia $k = 2$ (dla poziomu ufności 95%).

Tabela 4. Dopuszczalne poziomy pól elektromagnetycznych

Parametr fizyczny Zakres częstotliwości pola elektromagnetycznego	Składowa elektryczna	Składowa magnetyczna
od 400 MHz do 2000 MHz	$1,375 \times f^{0,5}$ V/m	$0,00375 \times f^{0,5}$ A/m
Od 2 GHz do 300 GHz	61 V/m	0,16 A/m

Do wyznaczania wartości wskaźnikowych WM_E i WM_H przyjęto najniższe wartości dopuszczalne poziomów pól elektromagnetycznych w/w zakresów częstotliwości.

Tabela 5. Wyniki pomiarów

Nr pionu	Opis miejsca pomiaru	Pomiar wewnątrz pomieszczenia	Współrzędne geograficzne		Wynik poniżej progu detekcji*	E_p [V/m]	U [V/m]	$E_p + U$ [V/m]	H [A/m]	WME	WMH	Przekroczenie wartości dopuszczalnej
			[°] E	[°] N								
1	Poziom gruntu - oś głównej wiązki anteny sektorowej azymut 0st	NIE	20,789369421	51,863812563	TAK	<0,80	0,47	1,27	0,003	0,05	0,046	nie przekracza
2	Poziom gruntu - oś głównej wiązki anteny sektorowej azymut 0st	NIE	20,789378870	51,864433783	TAK	<0,80	0,47	1,27	0,003	0,05	0,046	nie przekracza
3	Poziom gruntu - oś głównej wiązki anteny sektorowej azymut 0st	NIE	20,789430178	51,864960220	TAK	<0,80	0,47	1,27	0,003	0,05	0,046	nie przekracza
4	Poziom gruntu - oś głównej wiązki anteny sektorowej azymut 0st	NIE	20,789395529	51,865619770	TAK	<0,80	0,47	1,27	0,003	0,05	0,046	nie przekracza
5	Poziom gruntu - oś głównej wiązki anteny sektorowej azymut 0st	NIE	20,789377271	51,865926022	TAK	<0,80	0,47	1,27	0,003	0,05	0,046	nie przekracza
6	Poziom gruntu - pomocniczy pion pomiarowy	NIE	20,789844772	51,863720599	NIE	0,87	0,52	1,39	0,004	0,05	0,050	nie przekracza
7	Poziom gruntu - oś głównej wiązki anteny sektorowej azymut 120st	NIE	20,789843721	51,863311079	NIE	0,92	0,54	1,46	0,004	0,05	0,052	nie przekracza
8	Poziom gruntu - oś głównej wiązki anteny sektorowej azymut 120st	NIE	20,790705969	51,863006102	TAK	<0,80	0,47	1,27	0,003	0,05	0,046	nie przekracza
9	Poziom gruntu - oś głównej wiązki anteny sektorowej azymut 120st	NIE	20,791605075	51,862672314	TAK	<0,80	0,47	1,27	0,003	0,05	0,046	nie przekracza
10	Poziom gruntu - oś głównej wiązki anteny sektorowej azymut 120st	NIE	20,792789913	51,862258846	TAK	<0,80	0,47	1,27	0,003	0,05	0,046	nie przekracza
11	Poziom gruntu - pomocniczy pion pomiarowy	NIE	20,789958702	51,862951575	TAK	<0,80	0,47	1,27	0,003	0,05	0,046	nie przekracza
12	Poziom gruntu - oś głównej wiązki anteny radioliniowej azymut 190st	NIE	20,789107934	51,862587934	TAK	<0,80	0,47	1,27	0,003	0,05	0,046	nie przekracza
13	Poziom gruntu - oś głównej wiązki anteny radioliniowej azymut 190st	NIE	20,789266362	51,863131572	TAK	<0,80	0,47	1,27	0,003	0,05	0,046	nie przekracza

Nr pionu	Opis miejsca pomiaru	Pomiar wewnątrz pomieszczenia	Współrzędne geograficzne		Wynik poniżej progu detekcji*	E _p [V/m]	U [V/m]	E _p + U [V/m]	H [A/m]	WME	WMH	Przekroczenie wartości dopuszczalnej
			[°] E	[°] N								
14	Poziom gruntu - oś głównej wiązki anteny sektorowej azymut 255st	NIE	20,788689862	51,863356876	NIE	0,92	0,54	1,46	0,004	0,05	0,052	nie przekracza
15	Poziom gruntu - oś głównej wiązki anteny sektorowej azymut 255st	NIE	20,787634173	51,863194048	NIE	0,87	0,52	1,39	0,004	0,05	0,050	nie przekracza
16	Poziom gruntu - oś głównej wiązki anteny sektorowej azymut 255st	NIE	20,786792181	51,863051501	TAK	<0,80	0,47	1,27	0,003	0,05	0,046	nie przekracza
17	Poziom gruntu - oś głównej wiązki anteny sektorowej azymut 255st	NIE	20,786141648	51,862943699	TAK	<0,80	0,47	1,27	0,003	0,05	0,046	nie przekracza
18	Poziom gruntu - oś głównej wiązki anteny sektorowej azymut 255st	NIE	20,785560436	51,862858378	TAK	<0,80	0,47	1,27	0,003	0,05	0,046	nie przekracza
19	Poziom gruntu - pomocniczy pion pomiarowy	NIE	20,785803712	51,863433682	TAK	<0,80	0,47	1,27	0,003	0,05	0,046	nie przekracza
20	Poziom gruntu - pomocniczy pion pomiarowy	NIE	20,786984707	51,863688769	TAK	<0,80	0,47	1,27	0,003	0,05	0,046	nie przekracza
21	Poziom gruntu - pomocniczy pion pomiarowy	NIE	20,788164410	51,863910913	TAK	<0,80	0,47	1,27	0,003	0,05	0,046	nie przekracza
22	Poziom gruntu - pomocniczy pion pomiarowy	NIE	20,789006422	51,864053450	TAK	<0,80	0,47	1,27	0,003	0,05	0,046	nie przekracza
23	Poziom gruntu - pomocniczy pion pomiarowy	NIE	20,789869367	51,864148589	TAK	<0,80	0,47	1,27	0,003	0,05	0,046	nie przekracza
24	Poziom gruntu - pomocniczy pion pomiarowy	NIE	20,790572556	51,864241447	TAK	<0,80	0,47	1,27	0,003	0,05	0,046	nie przekracza

Objaśnienia:

$$E_p: E_{poprawne} = E_{wskazane} * C_{d(E)} * C_{f(f)}$$

$E_{wskazane}$ - zmierzona maksymalna wartość chwilowa natężenia pola elektrycznego

$C_{d(E)}$ – charakterystyka dynamiczna sondy – zgodna ze świadectwem wzorcowania

$C_{f(f)}$ – charakterystyka częstotliwościowa sondy – zgodna ze świadectwem wzorcowania

H – wyznaczona wartość natężenia pola magnetycznego z uwzględnieniem współczynnika korekcyjnego oraz rozszerzonej niepewności pomiaru.

WME - wartość wskaźnikowa poziomu oddziaływania pól elektromagnetycznych dla miejsc dostępnych dla ludności dla składowej elektrycznej pola.

WMH - wartość wskaźnikowa poziomu oddziaływania pól elektromagnetycznych dla miejsc dostępnych dla ludności dla składowej magnetycznej pola.

* Wynik poniżej progu detekcji - wartość zmierzona poniżej zakresu akredytacji. Do obliczeń przyjęto wartość zgodną z dolną granicą akredytowanego zakresu pomiarowego metody.

Piony pomiarowe wewnątrz budynków oraz na tarasach/balkonach wyznaczono na podstawie przeprowadzonych obliczeń rozkładu pola elektromagnetycznego zgodnie z wewnętrznymi procedurami laboratorium.

5. WNIOSKI

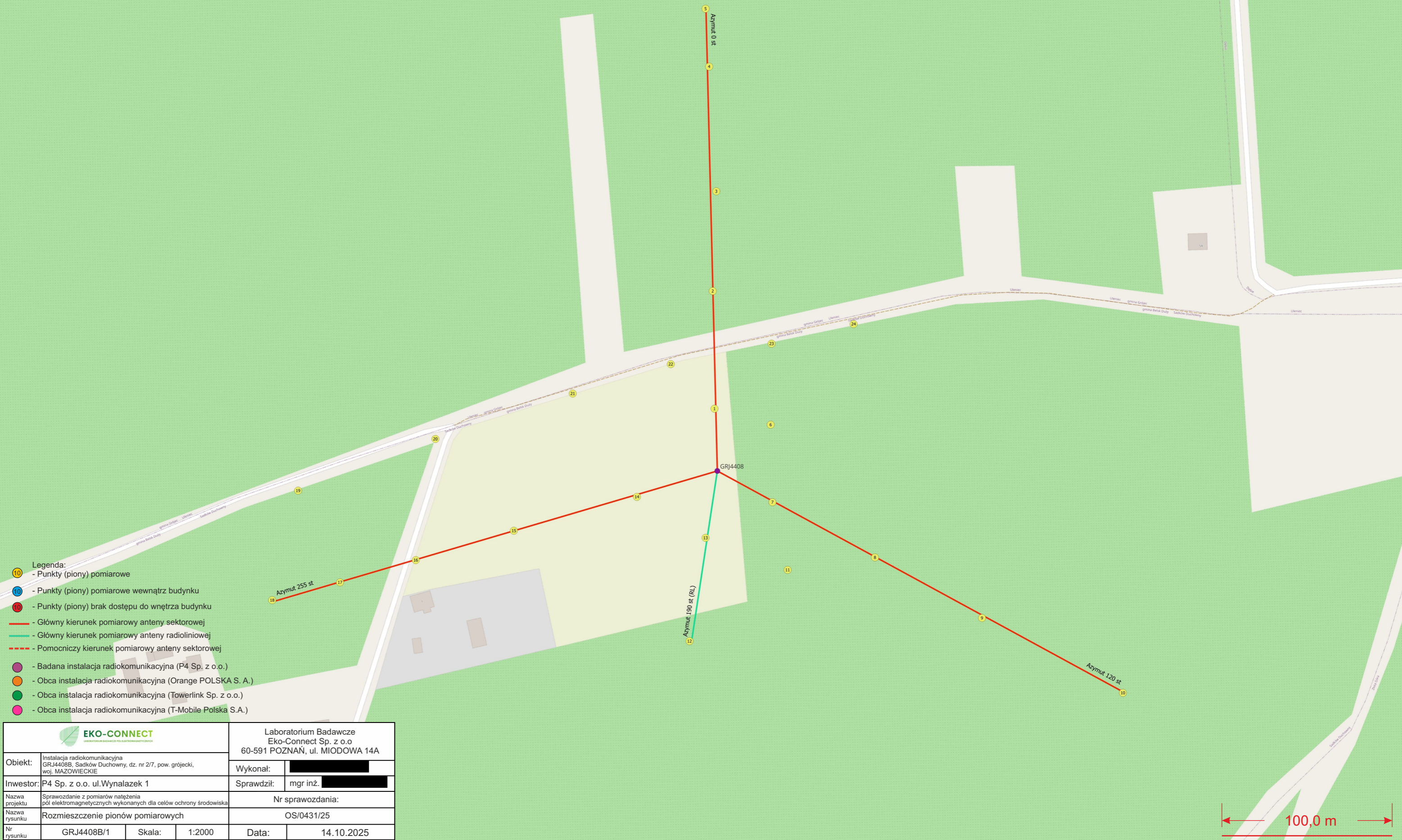
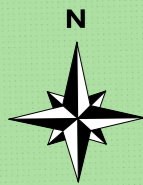
Stwierdza się, iż na podstawie uzyskanych wyników pomiarów i informacji uzyskanych od operatora, w otoczeniu stacji bazowej telefonii komórkowej GRJ4408B w miejscach dostępnych dla ludności, w których dokonano pomiaru, nie zostały przekroczone wartości graniczne poziomów pól elektromagnetycznych określonych w Rozporządzeniu Ministra Zdrowia z dnia 17 grudnia 2019 r. w sprawie dopuszczalnych poziomów pól elektromagnetycznych w środowisku (Dz. U. z 2019 r. poz. 2448).

Stwierdzenie zgodności zostało przedstawione na podstawie wyników badań oraz informacji uzyskanych od Klienta (za które Laboratorium nie ponosi odpowiedzialności) dla instalacji opisanej w punkcie 2. Stwierdzenia zgodności dokonano na podstawie zasady podejmowania decyzji i wymagań zawartych w załączniku do Rozporządzenia Ministra Klimatu z dnia 17 lutego 2020 r. w sprawie sposobów sprawdzania dotrzymania dopuszczalnych poziomów pól elektromagnetycznych w środowisku (Dz.U. 2022 poz. 2630 z 15.12.2022r.).

- Sprawozdanie zawiera 9 stron
- Załączniki: nr 1 – mapa z rozmieszczeniem pionów pomiarowych wokół obiektu
- Otrzymują:
 1. Zleceniodawca: - 1 egz.
 2. a / a: 1 egz.

Bez pisemnego zezwolenia laboratorium Eko-Connect Sp. z o.o. sprawozdanie nie może być powielane inaczej, jak tylko w całości.

KONIEC SPRAWOZDANIA



- Legenda:**
- - Punkty (piony) pomiarowe
 - - Punkty (piony) pomiarowe wewnątrz budynku
 - - Punkty (piony) brak dostępu do wnętrza budynku
 - - Główny kierunek pomiarowy anteny sektorowej
 - - Główny kierunek pomiarowy anteny radioliniowej
 - - - - Pomocniczy kierunek pomiarowy anteny sektorowej
 - - Badana instalacja radiokomunikacyjna (P4 Sp. z o.o.)
 - - Obca instalacja radiokomunikacyjna (Orange POLSKA S.A.)
 - - Obca instalacja radiokomunikacyjna (Towerlink Sp. z o.o.)
 - - Obca instalacja radiokomunikacyjna (T-Mobile Polska S.A.)

EKO-CONNECT <small>LABORATORIUM BADAWCZE PÓL ELEKTROMAGNETYCZNYCH</small>		Laboratorium Badawcze Eko-Connect Sp. z o.o 60-591 POZNAŃ, ul. MIODOWA 14A	
Obiekt:	Instalacja radiokomunikacyjna GRJ4408B, Sadków Duchowny, dz. nr 2/7, pow. grójcecki, woj. MAZOWIECKIE	Wykonał:	[REDACTED]
Investor:	P4 Sp. z o.o. ul. Wynałazek 1	Sprawdził:	mgr inż. [REDACTED]
Nazwa projektu	Sprawozdanie z pomiarów natężenia pól elektromagnetycznych wykonanych dla celów ochrony środowiska	Nr sprawozdania:	
Nazwa rysunku	Roźmieszczenie pionów pomiarowych	OS/0431/25	
Nr rysunku	GRJ4408B/1	Skala:	1:2000
		Data:	14.10.2025

